

669.14.018.23 : 669.14.018.8 : 621.923.1

## (182) ステンレス快削鋼の円筒研削加工にみられる中太り現象の解析

70458

宇都宮大学工学部

○貴志浩三 江田 弘  
兒玉義雄

1 緒言 細い丸棒を研削したときに生じる中太りをしらべるために、被削材に快削添加元素をくわえ、中太りとの関係をしらべた。

2 実験方法 被削材—表1。ヒート-A60K5V7。ドレッサー4角錐の成型ダイヤモンド、対面角109°、先端半径0.01mm、実験装置—図1。研削条件—ヒートの周速度1636mm/min、トラバース送り速度0.9~3mm/min、ヒート切込み量10μ, 60μ、ドレッシング切込み量10μ×2回、湿式。

3 実験結果と考察 被削材が中太りになることは、研削抵抗による被削材のたわみの影響が大きい。たとえば、被削材1について測定した研削抵抗F(法線と接線研削抵抗の合力)を用いて、次式から求める。

$$0 < l_2 < x \quad y_1 = F(l-l_1)x/6EIx[l^2-(l-l_1)^2-x^2] \quad (1)$$

$$x < l_1 < l \quad y_2 = F(l-l_1)x/6EIx[l^2-(l-l_1)^2-x^2] + F(x-l_1)/6EI \quad (2)$$

ここで、 $E=20800 \text{kg/mm}^2$ ,  $l=150 \text{mm}$ ,  $d=8 \text{mm}$ ,  $l_1$ =被削材の端から研削点までの距離。

このとき、 $F=450 \text{gr}$ ,  $l_1=\frac{l}{2}$  すれば、たわみ  $\delta=48.3 \mu$  となり、ヒートによる切残し量が被削材の中央で増大することになる。また、研削点での被削材のふれを  $A_1$  とすれば、任意の時間  $t$  におけるたわみは、

$y=A_1 e^{\beta t} \cos \omega t$  となる。ただし、 $\beta$  は減衰係数、 $\omega$  は回転周期。したがって、研削抵抗Fによる仕事量Wは次式となる。

$$W = \frac{1}{4} A_1^2 \omega^2 \frac{1}{\beta} e^{\frac{-2\pi t}{\beta}} (1 - e^{-\frac{4\pi t}{\beta}}) \quad (3) \quad \text{また研削点 } l_1 \text{ におけるたわみの運動エネルギー } \Delta E_v \text{ は } 1 \text{ 周期について次式となる。}$$

$$\Delta E_v = \frac{1}{6} A_1^2 \omega^2 e^{-\frac{4\pi t}{\beta}} [m_1 \frac{l_1^2}{\beta^2} + m_2 l^2 / (\beta^2 (l-l_1))] (1 - e^{-\frac{4\pi t}{\beta}}) \quad (4) \quad \text{式(3), (4), から}$$

摩擦係数  $\mu$  はもとより、式(5)を得る。 $\mu = \frac{2}{3} \beta [m_1 \frac{l_1^2}{\beta^2} + m_2 \frac{l^2 - l_1^2}{\beta^2 (l-l_1)}]$  (5)

$m_1, m_2$  は  $l_1$  と  $(l-l_1)$  の単位長さの質量。式(5)は、ヒートと被削材の摩擦係数  $\mu$  と被削材のたわみとの関係を示す。したがって、被削材中央で  $\mu$  は最大となるので、 $\mu$  は最も大きくなる。たとえば、ヒートがくつき難いオーステナイト系ステンレス鋼では、摩擦係数  $\mu$  を増大し、研削熱をさらに増大することになる。快削添加元素 Pb, S, Se, Te を添加した実験結果の一例を図2に示す。被削材1と2(オーステナイト系)は、3と4(フェライト系)に比べ、中太り量が増大する。SとSeの影響をみると、1は2に比べ中太り量が増大する。この場合、SeよりSの影響が大きい。被削材2の表面あらさに注目してみると、図3に示すごとくドレッシングの影響がよくあらわれれる。つまりSの添加によってヒートと被削材のくつき易さが容易となつたことに起因する。

4 結言 細い丸棒を円筒研削したときに生じる中太り量は、研削力による被削材のたわみによって最も大きな影響を受ける。このたわみはヒートと被削材の摩擦係数も変える。しかし、中太りは快削添加元素によってある程度変化し、なかでもS, Teによる影響が大きい。

表1 被削材の化学組成

	C	Si	Mn	P	S	Ni	Cr	Mo	Cu	Se	Pb	Te
No. 1	0.06	0.44	0.97	0.028	0.032	1.53	0.93	—	—	0.28	—	—
No. 2	0.08	0.55	1.61	0.028	0.034	1.32	1.62	0.20	0.23	—	—	—
No. 3	0.10	0.35	0.92	0.018	0.023	0.04	2.70	0.17	0.04	0.24	—	—
No. 4	0.15	0.44	0.98	0.024	0.025	0.25	1.52	0.19	0.10	—	—	—
No. 5	0.10	0.44	0.99	0.016	0.023	0.15	1.52	0.17	0.06	0.23	—	—
No. 6	0.12	0.28	0.58	0.015	0.028	0.16	0.14	—	—	0.22	—	—
No. 7	0.05	0.25	0.58	0.018	0.024	0.05	0.10	—	0.11	0.13	—	—
No. 8	0.48	0.23	0.65	0.023	0.023	0.07	0.09	—	0.14	0.14	—	—
No. 9	0.07	0.01	1.20	0.061	0.023	0.04	0.07	—	0.11	0.11	0.10	—
No. 10	0.08	0.02	1.01	0.08	0.040	0.03	0.35	—	0.06	0.18	—	—
No. 11	0.10	0.01	1.04	0.085	0.030	0.07	—	—	—	0.30	—	—
No. 12	0.01	—	—	1.4	0.094	0.20	0.02	0.05	—	0.04	—	—
No. 13	0.14	0.16	0.74	0.083	0.028	0.04	0.08	—	0.07	—	—	—

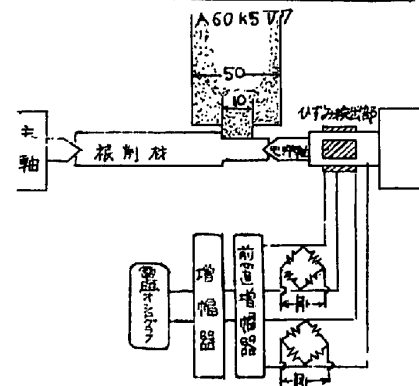


図1 実験装置

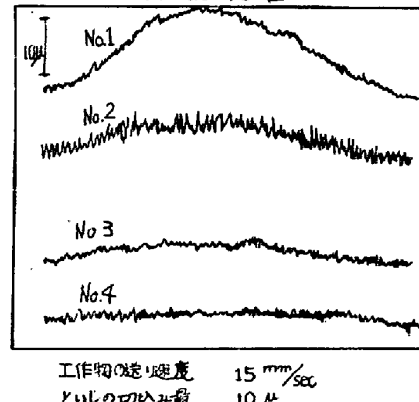


図2 中太りの記録例

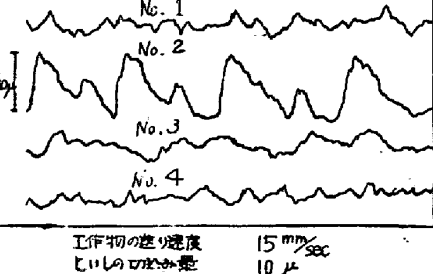


図3 表面あらさの記録例